

फेरस अमोनियम टंगस्टेट कृत्रिम झिल्ली की विद्युत चालकता का अध्ययन

मुहम्मद अयूब अन्सारी¹, प्रशान्त कुमार पाठक², एवं रमेश कुमार प्रजापति³

¹रसायन विज्ञान विभाग, बिपिन बिहारी महाविद्यालय, झाँसी-284001, उप्र०, भारत

²रसायन विज्ञान विभाग, राजकीय एस०एल०पी० महाविद्यालय, मुरार, ग्वालियर-474006, म०प्र०, भारत

³रसायन विज्ञान विभाग, दिगम्बर जैन कॉलेज, बड़ौत, बागपत-250611, उप्र०, भारत

ayub67@rediffmail.com; prashant_pathak58@yahoo.com; ks_dadoriya@gmail.com

सार

विभिन्न सान्द्रता वाले लिथियम, सोडियम एवं पोटेशियम क्लोराइड विलयन में भीगी हुई चर्म पत्र आधारित फेरस अमोनियम टंगस्टेट की संवाहकत्वता का मापन विभिन्न तापक्रमों पर किया गया है। ΔH^\ddagger , ΔF^\ddagger , E_a , ΔS^\ddagger आदि विभिन्न ऊष्मागतिक मानकों को व्युत्पन्न करने हेतु परिशुद्ध प्रतिक्रिया दर सिद्धान्त अपना कर अंतर आयनिक उछाल दूरी (d) का मूल्यांकन किया गया एवं यह 1.8 Å^0 पाई गई। यह पाया गया कि संक्रीयण ऊर्जा भेदन प्रजाति के स्थल पर निर्भर करती है, तथा विद्युत अपघटय विलयन की सांद्रता के बढ़ने के साथ कम होती है। यह निष्कर्ष निकला कि झिल्ली कम आवेशित है एवं जब आयनिक प्रजातियां झिल्ली से व्यापन कर रही हैं तो वह स्वयं के जलयोजन कोष को अतिनिम्न आंशिक रूप से परिघृत करती हैं। इसके ऋणात्मक मान दर्शाते हैं कि आयनों का आंशिक स्थिरीकरण, संभवतः झिल्ली कंकाल के स्थाई आवेशित समूह की, आयनिक अंतःक्रिया एवं अंतरकाशीय पारगमन के कारण है।

बीज शब्द : प्रवाहकत्व, ऊष्मागतिक मानक, फेरस अमोनियम टंगस्टेट झिल्ली।

Electrical Conductance Studies of Ferrous ammonium tungstate Model Membrane

Mohd. Ayub Ansari¹, Prashant Kumar Pathak² and Ramesh Kumar Prajapati³

¹Department of Chemistry, Bipin Bihari College, Jhansi-284001, U.P., India

²Department of Chemistry, Govt. S.L.P. College, Morar, Gwalior-274001, M.P., India

³Department of Chemistry, Digambar Jain College, Baraut, Baghpat-250611, U.P., India

ayub67@rediffmail.com; prashant_pathak58@yahoo.com; ks_dadoriya@gmail.com

Abstract

Conductances of parchment supported ferrous ammonium tungstate membrane bathed in lithium, sodium and potassium chloride solutions of different concentrations and at different temperatures have been measured. Absolute reaction rate theory has been applied to derive various thermodynamic parameters, ΔH^\ddagger , ΔF^\ddagger , E_a and ΔS^\ddagger . The interionic jump distance (d) has also been evaluated and found to be 1.8 Å^0 . The activation energies are found to depend on the site of penetrant species and decrease with the increase in the concentration of the bathing solutions. It is concluded that the membrane is weakly charged and ionic species retain their hydration shell at least partially, while diffusing through the membrane pores. The values are negative indicating that partial immobilisation of ions takes place probably due to the interstitial permeation and ionic interaction with the fixed charge groups of the membrane skeleton.

Keywords- Conductance, thermodynamic parameters, ferrous ammonium tungstate membrane.

1. प्रस्तावना

कार्बनिक आयन विनियम पदार्थों की अपेक्षा अकार्बनिक-कार्बनिक आयन विनियम पदार्थ अधिक महत्व रखते हैं क्योंकि अकार्बनिक आयन विनियम पदार्थ अधिक तापमान एवं विकरण पर भी स्थिर¹ रहते हैं। आयन विनियम क्रिया के मूलभूत उपयोग डोनान शिल्ली संतुलन पर आधारित है। यह विभिन्न पर्यावरणीय समस्याओं के समाधान जैसे मूल्यवान आयनों की पुनः प्राप्ति एवं संवर्धन, अपशिष्ट जल² से अवांछनीय आयनों के निष्कासन आदि में बहुत महत्वपूर्ण है। इस पत्र में हमने चर्म पत्र आधारित फेरस अमोनियम शिल्ली द्वारा आयन परिवहन की प्रक्रिया का पता लगाने हेतु एवं अंतर आयनिक उचाल दूरी की गणना करने हेतु विभिन्न तापमानों पर शिल्ली के प्रवाहकत्व आंकड़ों में परिशुद्ध प्रतिक्रिया दर सिद्धांत का वर्णन किया है।

2. सामग्री एवं विधियाँ

चर्म पत्र(अमूल ग्रुप ऑफ कम्पनीज, मुम्बई, भारत) फेरस अमोनियम सल्फेट एवं सोडियम टंगस्टेट के 0.1M जलीय विलयन के उपयोग से अंसारी एवं सहकर्मियों³ द्वारा सुझाई गई विधि द्वारा फेरस अमोनियम टंगस्टेट शिल्ली बनाई गई। शिल्ली को दो विद्युत अपघट्य सेलों के बीच सील बंद⁴ कर दिया जाता है। शिल्ली को लगाने के पहले अर्ध सेलों को विद्युत अपघट्य विलयन (KCl, NaCl या LiCl) से भर दिया गया एवं सतह तरल को बिना हटाए विलयन को स्वच्छ पारे से बदल दिया गया। यदि शिल्ली एवं विलयन के बीच कोई हवा का बुलबुला रह जाता है तो उसे हटा दिया जाता है, ताकि एक समान परिणाम मिल सके। विद्युत प्रवाहित करने हेतु प्लैटिनम इलैक्ट्रोड का प्रयोग किया गया। 10³ हर्ट्ज आवृत्ति पर प्रत्यक्ष मान चालकता मीटर 303 (सिस्ट्रोनिक्स) द्वारा शिल्ली प्रवाहकत्व को नापा गया। सभी मापन 25⁰C, 30⁰C, 35⁰C, 40⁰C, 45⁰C, 50⁰C ($\pm 0.1^{\circ}$ C) पर किए गए। विद्युत अपघट्य विलयन, ए0आर0 अभिकर्मक एवं विआयनीकृत जल द्वारा तैयार किए गए।

3. परिणाम एवं चर्चा

विभिन्न सांद्रता वाले लिथियम एवं सोडियम क्लोराइड विलयन में भीगी हुई, फेरस अमोनियम टंगस्टेट शिल्ली के विभिन्न तापक्रमों पर मापे गए प्रवाहकत्व को तालिका-1 में दर्शाया गया है एवं पोटेशियम क्लोराइड के विशिष्ट आंकड़े चित्र-1 में दर्शाए गए हैं। यह आंकड़े दर्शाते हैं कि विद्युत अपघट्य की सांद्रता बढ़ने के साथ विशिष्ट प्रवाहकत्व बढ़ता है एवं अधिकतम प्रतिबंधक मान तक पहुंच जाता है। यह, विभिन्न क्षारीय क्लोराइड एवं नाईलोन शिल्ली की, इजिमा एवं उनके साथियों⁵ की खोज का समर्थन करता है। समान परिस्थिति में क्षारीय धातु आयन के, शिल्ली प्रवाहकत्व का क्रम $K^+ > Na^+ > Li^+$ है, जो कि इनकी आयनिक त्रिज्या के समान है। अनेक जांचकर्ताओं⁶⁻¹⁰ द्वारा कुछ मानव निर्मित शिल्लियों पर किए गए प्रयोगों में एक सा व्यवहार पाया गया। यह क्रम दर्शाता है कि व्यापन प्रक्रिया में आयन का आकार एक महत्वपूर्ण कारक है। शिल्ली से पारगमन करती हुई जलीय प्रजाति के संबंध में शिल्ली-सारांध्रता उपर्लिखित क्रम को निर्धारित करती प्रतीत होती है। यद्यपि जलयोजित विद्युत अपघट्य का आकार निश्चित तौर पर ज्ञात नहीं है, लेकिन कुछ विद्युत अपघट्य के साथ जुड़े जल के अणुओं के आंकड़े^{11, 12} ज्ञात हैं। चित्र-2 में शिल्ली में विभिन्न विद्युत अपघट्य (क्लोराइड) के विशिष्ट प्रवाहकत्व एवं धनायन के जलयोजन की अतिरिक्त ऊर्जा का रेखांचित्र दर्शाया गया है¹³। यह देखा गया कि जलयोजन ऊर्जा के बढ़ने के साथ विशिष्ट प्रवाहकत्व कम हो जाता है, अर्थात जल योजन के कारण आकार में बढ़ोत्तरी होती है। यह इस तथ्य को इंगित करता है कि विद्युत अपघट्य, छिद्र या आयाम मार्ग से, इस तरह विसरित होते हैं कि, शिल्ली में प्रवेश कर सके। भेदन करती हुई विद्युत अपघट्य के, जल योजन की स्थिति को, गतिशील अवस्था में, इस तरह से विचारित किया जा सकता है, कि अधिक तापक्रमों पर दिए गए विद्युत अपघट्य का अधिकांश भाग बोल्ट्जमैन वितरण के अनुसार $f = e^{-\Delta E_a / RT}$ (यहाँ R गैस नियतांक है)। प्रतिमोल अधिशेष ऊर्जा (ΔE) रखे। इन परिस्थितियों में ऐसी आयनिक प्रजातियां जिन्होंने पर्याप्त जल योजन की मात्रा को खो दिया है, अतः आकार में शिल्ली-रेंज से छोटी है, शिल्ली में प्रवेश करेगी। यदि शिल्ली के आकार एवं संरचना में कोई अपरिवर्तीय परिवर्तन नहीं है तो तापक्रमों के बढ़ने के साथ प्रवाहकत्व बढ़ेगा। चित्र 3 में लघु गणक्य प्रवाहकत्व एवं $1/T$ के मध्य रेखांगत ग्राफ दर्शाते हैं कि शिल्ली में इस तरह का कोई परिवर्तन नहीं हुआ है। इस ग्राफ का ढाल आरहीनियस समीकरण के लिए आवश्यक सक्रियण ऊर्जा के मान को दर्शाता है। तालिका 2 से पता चलता है कि विद्युत अपघट्य विलयन की सांद्रता बढ़ने के साथ ही सक्रियण ऊर्जा कम हो जाती है। विभिन्न विद्युत अपघट्य के लिए निश्चित सांद्रता पर सक्रियण ऊर्जा का क्रम $E_a k^+ > E_a N_a^+ > E_a Li^+$ है जो कि क्षारीय धातु, धनायन की क्रिस्टलोग्राफिक त्रिज्या के क्रम के समान है। जब कोई भेदक, किसी कम जल की मात्रा वाले बहुलक पदार्थ में चालन करता है तो उसकी गति बहुलक की खण्डीय गतिशीलता पर निर्भर करती है। विद्युत अपघट्य की व्याप्ति इस बात पर निर्भर करती है कि खण्ड, भेदक प्रजाति को समायोजित करने हेतु एक बड़ा छिद्र¹⁴ बना दे। इस तरह की प्रणाली में

सक्रियण ऊर्जा भेदक प्रजाति के आकार पर निर्भर करती है, अर्थात् सक्रियण ऊर्जा भेदक के आकार के आधार पर बढ़ती है। यदि, यह हमारी प्रणाली का मामला है, तो क्षारीय धातु आयनों के प्रकार पर, सक्रियण ऊर्जा की निर्भरता को, आयनिक क्रिस्टलोग्राफिक त्रिज्या द्वारा स्पष्ट किया जा सकता है। जो कि समान प्रणाली में किए गए व्याप्तिता मापन से प्राप्त निष्कर्ष^{1, 15} के समान है।

ऊर्जागतिक मानक एवं $\Delta F^\#$ परम अभिक्रिया दर सिद्धांत के प्रयोग द्वारा पता किए गए। आयरिंग^{16, 17} के अनुसार

$$\pi = \frac{RT}{Nh} e^{-\Delta H^\# / RT} e^{\Delta S^\# / R} \quad (1)$$

यहाँ h प्लैक नियतांक, R गैस नियतांक, N एवोगेड्रो संख्या एवं T परम तापमान हैं। $\Delta F^\#$ आयनों के व्यापन की मुक्त सक्रियण ऊर्जा है, जिसे गिब्स हेल्पोट्ज समीकरण (2) के अनुसार दर्शाया गया है।

$$\Delta F^\# = \Delta H^\# - T\Delta S^\# \quad (2)$$

$\Delta H^\#$ निम्न समीकरण के अनुसार आरहीनियस सक्रियण ऊर्जा Ea से संबंधित है।

$$Ea = \Delta H^\# + RT \quad (3)$$

लघु गणक्य प्रवाहकत्व एवं $1/T$ के मध्य का ग्राफ रेखीय है। इस ग्राफ की रेखा का कटाव एवं ढाल $\Delta H^\#$ एवं $\Delta S^\#$ की गणनायें देता है। इससे जांचे जा रहे निकाय की प्रयुक्त प्रणाली में, समीकरण-1 की प्रायोज्यता की सत्यता का पता चलता है। इससे व्युत्पन्न $\Delta H^\#$ एवं $\Delta S^\#$ के अंकड़ों का उपयोग समीकरण (2) एवं (3) द्वारा $\Delta F^\#$ एवं Ea के मानों का पता लगाने हेतु किया गया। इसके परिणाम इंगित करते हैं कि विद्युत अपघट्य भेदन $\Delta S^\#$ के ऋणात्मक मानों को उत्पन्न करते हैं। यह गणनायें शिल्ली में आयनों के आंशिक निसंचालन के लिए उत्तरदायी हो सकती हैं, जो कि मुख्यतः शिल्ली के स्थिर आवेश ग्रुप के साथ अंतरकाशीय भेदन एवं आयनिक अंतःक्रिया के कारण हैं।

दूसरी तरफ, निम्न समीकरण है—

$$\pi = \pi_0 e^{-Ea / RT} \quad (4)$$

$$\text{एवं} \quad \pi_0 = 2.72 (KTd^2 / h) e^{\Delta S^\# / R} \quad (5)$$

यहाँ K बोल्टमेन नियतांक है एवं d अंतर आयनिक उछाल दूरी है, $d \approx 1.8A^0$ अंतर आयनिक उछाल दूरी, शिल्ली में व्याप्त हो रही प्रजातियों के संतुलन स्थानों के बीच की दूरी है। समीकरण (4) बताता है कि लघु गणक्य प्रवाहकत्व एवं $1/T$ के मध्यग्राफ रेखीय है, जिससे Ea के मान का पता लगाया जा सकता है। $\Delta S^\#$ एवं Ea के मानों को समीकरण (4) एवं समीकरण (5) में रखकर अंतर आयनिक दूरी की गणना करते हैं। अंतर आयनिक दूरी का प्रयोग विभिन्न खोजकर्ताओं द्वारा किया गया एवं यह अनुभवजन्य मान ($1-6 A^0$) के समान है।

आभार— लेखक आवश्यक अनुसंधान सुविधायें प्रदान करने के लिए महाविद्यालय के प्राचार्य के आभारी हैं।

तालिका-1

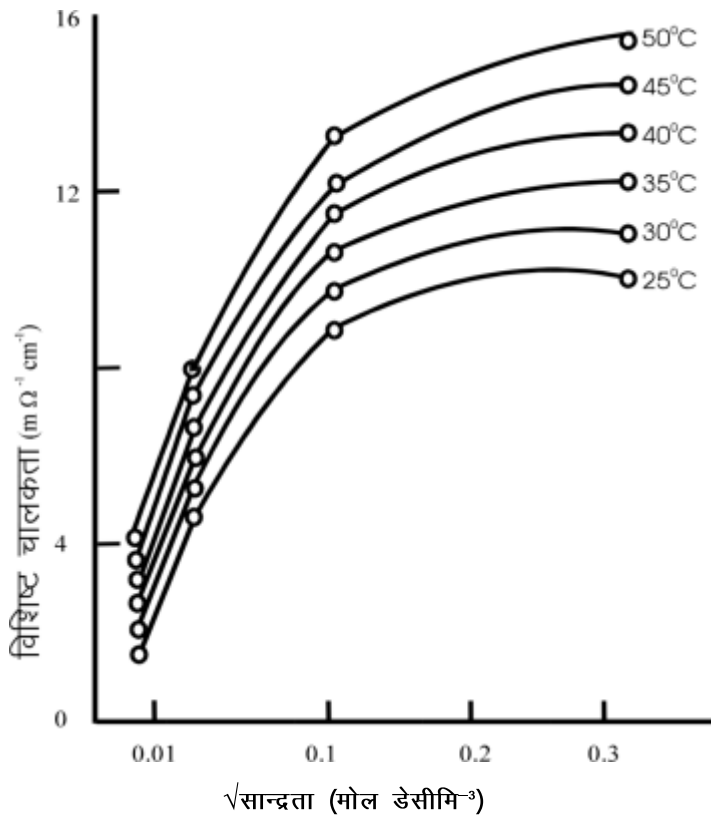
फेरस अमोनियम टंगस्टेट झिल्ली के आर-पार 1:1 विभिन्न विद्युत अपघट्य की सान्द्रता एवं तापक्रम पर विशिष्ट चालकताओं
($m \Omega^{-1} cm^{-1}$) के प्रायोगात्मक मान

विद्युत अपघट्य सान्द्रता (मोल. डेसीमी. ⁻³)	तापक्रम ($\pm 0.1^{\circ}\text{C}$)					
	25	30	35	40	45	50
NaCl						
0.1	7.96	9.80	9.50	11.90	12.00	13.90
0.01	5.82	7.40	8.12	8.00	9.00	8.70
0.001	5.20	4.80	4.19	5.90	6.80	7.50
0.0001	2.15	2.80	2.90	3.55	3.90	3.80
LiCl						
0.1	4.90	6.50	6.40	8.10	8.80	8.90
0.01	3.50	5.10	5.10	5.80	6.50	5.80
0.001	2.14	2.60	3.10	4.00	4.00	5.00
0.0001	1.15	2.40	2.90	3.80	3.90	4.50

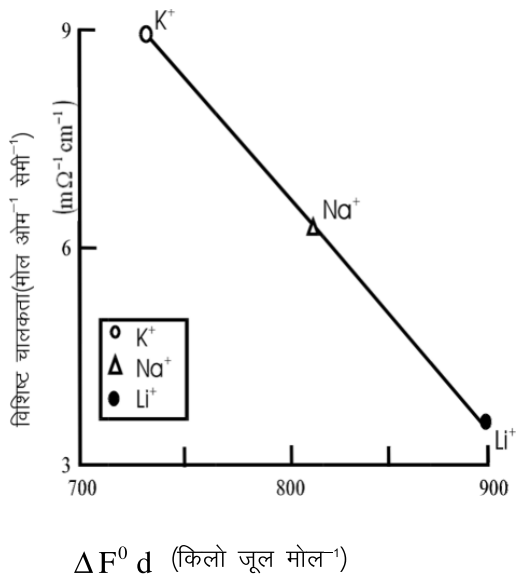
तालिका-2

फेरस अमोनियम टंगस्टेट झिल्ली के सम्र्क में 1:1 विद्युत अपघट्य विलयन की विभिन्न सान्द्रताओं के लिये उष्मागतिक मानक

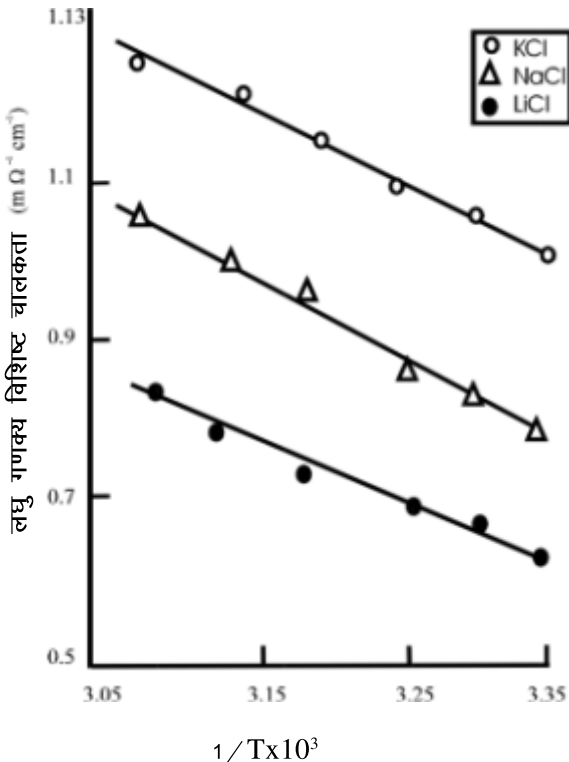
विद्युत अपघट्य सान्द्रता (मोल. डेसीमी. ⁻³)	प्राचल (Parameters)			
	Ea (किलो जूल मोल ⁻¹)	ΔH^\ddagger (किलो जूल मोल ⁻¹)	ΔF^\ddagger (किलो जूल मोल ⁻¹)	ΔS^\ddagger (जूल डिग्री मोल ⁻¹)
KCl				
0.1	10.9	7.8	74.0	224.0
0.01	13.9	8.5	78.1	-234.8
0.001	15.0	11.9	90.5	-234.9
0.0001	23.0	17.3	90.0	-233.9
NaCl				
0.1	10.1	5.5	74.0	-225.0
0.01	13.1	6.7	74.5	-226.9
0.001	15.5	12.3	80.0	-228.0
0.0001	18.9	13.8	83.1	-236.9
LiCl				
0.1	9.9	6.5	74.9	-228.8
0.01	12.8	6.9	75.0	-225.7
0.001	14.0	12.0	78.0	-235.1
0.0001	18.90	8.8	80.50	-237.2



चित्र-1 फेरस अमोनियम टंगस्टेट शिल्पी के लिए KCl का विभिन्न तापक्रम पर विशिष्ट चालकता एवं $\sqrt{\text{सान्द्रता}}$ के मध्य आरेख



चित्र-2 फेरस अमोनियम टंगस्टेट शिल्पी के आर-पार 25°C पर विभिन्न 1:1 विद्युत अपघटय की विशिष्ट चालकता एवं जलयोजन की मुक्त ऊर्जा के मध्य आरेख



चित्र-3 विशेष चालकता के आरहीनियस वक्र

सन्दर्भ

1. एम्फलेट सी० बी०(1964) “इनआर्गेनिक आयन एक्सचेंज”, इल्सवीयर, एम्सट्रडम।
2. नवी, एस० ए०; नौशाद एम० और इनामुददीन(2007) जर्नल ऑफ हजार्ड मेटेरियल, खण्ड 142, पृष्ठ 404।
3. अन्सारी, एम० ए०; कुमार मनोज; गुप्ता अशोक; श्रीवास्तवा, प्रीती एवं कुशवाहा आर० एस०(2005) इण्डियन काउन्सिल ऑफ कैमिस्ट, खण्ड 22, पृष्ठ 233।
4. कुशवाहा, आर० एस० और अन्सारी एम० ए०(2008) प्रोग्रेसिव रिसर्च, खण्ड 3, अंक 1, मु० पृष्ठ 73–75।
5. टी० इजिमा एवं टी० ओवारा(1978) के० जे० कोलाइड इन्टरफेस साइन्स, खण्ड-63, पृष्ठ 42।
6. खांन, एम० ए० एवं रफीउददीन, इनामुददीन(2012) मैटीरियल साइन्स एण्ड इंजीनियरिंग, सी-32, मु० पृष्ठ 1210–1217।
7. खान, एम० ए० एवं रफीउददीन, इनामुददीन(2013) मैटीरियल साइन्स एण्ड इंजीनियरिंग, सी-33, मु० पृष्ठ 2360–2366।
8. अन्सारी एम० ए०; कुमार, मनोज; सिंह एन०; दादौरिया के० एस०; कुशवाहा आर० एस० एवं एस० अयूब(2012) एडवान्स एप्लाईड साइन्स रिसर्च, खण्ड-3ए अंक 1, मु० पृष्ठ 251–260।
9. खान, एम० आर० एवं रफीउददीन, इनामुददीन(2013) डिसेलिनेशन, खण्ड-329, मु० पृष्ठ 103–114।
10. ओनवाउडी, डी० सी०; अर्फिन, तनवीर एवं स्ट्रॉम सी० ए०(2014) इलैक्ट्रो किमिका एक्टा, खण्ड-116, मु० पृष्ठ 217–223।
11. हारन्ड एस० एस०(1958) “द फिजिकल कैमिस्ट्री ऑफ इलैक्ट्रोलाईट सोलूशन”, तीसरा संस्करण (रेनहॉल्ड न्यूयार्क), पृष्ठ 52।
12. मार्क्स, वाई०(1969), आयन एक्सचेंज एण्ड सालवेन्ट एक्ट्रेक्शन ऑफ मेटल काम्पलेक्सेस (इन्टरसाइन्स, न्यूयॉर्क), पृष्ठ ।।
13. क्यूमिन्स, सी० ए०(1968) “डिफ्यूजन इन पॉलीमर्स”, एकेडमिक प्रेस, लन्दन, अध्याय-4।
14. सिद्दीकी, एफ० ए० एवं बेग एम० एन०(1978) केनेडियन जर्नल ऑफ कैमिस्ट्री, खण्ड-56 पृष्ठ 2206।
15. ज्वलेन्सकी, बी० जे०; आयरिंग एच० एवं रीज० सी० ई० (1949) जर्नल ऑफ फिजिकल कैमिस्ट्री, खण्ड-53, पृष्ठ 1426।
16. ग्लासटन, एस० एवं लैडलर के० जे०(1941) “द थ्योरी ऑफ रेट प्रोसेसेज”, मेकग्रा-हिल, न्यूयार्क, पृष्ठ-525–544।
17. बेरर, आर० एम० एवं रीज० एल० बी० सी०(1961) जर्नल ऑफ फिजिकल कैमिस्ट्री सॉलिड्स, खण्ड-21, पृष्ठ-12।